20340400 000 40800030000000 0400000000 8500404000 ВЗВЕСТИЯ АКАДЕМИИ НАУК АРМЯНСКОЙ ССР

Мфа-бирьбит. qhunipjai66br XVII. № 5, 1964 Физико-математические мауки-

АЭРОГИДРОМЕХАНИКА

А. М. МХИТАРЯН, М. Г. ДАГЕСТАНЯН

О ВЛИЯНИИ ФОРМЫ БЕРЕГОВОЙ ЛИНИИ НА БРИЗОВУЮ ЦИРКУЛЯЦИЮ

В этой работе исследуется вопрос о влияния формы береговой шерты в плане на развитие бризовой циркуляции в рамках линейной теорни.

Отметим, что в работах [3—5], а также [6] и в ряде других 2,7—9] рассмотрены вопросы развития бризов над плоским прямовлейным берегом. В работе [1] рассмотрен вопрос о влиянии беретовой линии на воздушные течения и распределение осадков.

В работе [6] дано решение задачи для ряда случаев, соответтвующих учету или неучету ускорения Кориолиса, постоянному или пременному коэффициенту вертикального турбулентного обмена и пр. В частности, подробно исследовано влияние точного учета осотевностей распределения температуры подстилающей поверхности по правнению с его схематическим заданием в виде "ступеньки", с разтивом над береговой чертой.

В этом последнем случае удалось получить ряд количественных шводов, корошо согласующихся с данными фактических наблюдений. это особенно касается развития вертикальных токов, вопрос о расчетешторых рассмотрен и в работе [2].

Вопрос о бризовой циркуляции рассмотрен в ряде исследовавы Краткие сведения об этом можно получить в [6]. Здесь же привден список работ, посвященных этому вопросу.

В данной работе строится простая теоретическая модель бризоод циркуляции над плоским берегом при криволинейной форме беновой черты. Распределение температуры по подстилающей поверхвсти принимается заданным.

§ 1. Основные уравнения задачи

Исходными являются общие уравнения гидротермодинамики, копрые ны здесь выписывать не будем. Сделав обычные упрощения при конвекции [2, 6], линеаризируя уравнения для бризовых отклоний, как сделано, например, в работе [6], можно написать указанпо систему уравнений в следующем упрощенном виде:

$$\frac{\partial u}{\partial t} = -RT \frac{\partial p}{\partial x} + \frac{\partial}{\partial z} \left(k \frac{\partial u}{\partial z} \right) + lv, \qquad (1.1)$$

$$\frac{\partial v}{\partial t} = -RT \frac{\partial p}{\partial y} + \frac{\partial}{\partial z} \left(k \frac{\partial v}{\partial z} \right) - lu, \tag{1.2}$$

$$-RT\frac{\partial p}{\partial z} + i\vartheta = 0, \tag{1.3}$$

$$\frac{\partial u}{\partial x} + \frac{\partial v}{\partial y} + \frac{\partial w}{\partial z} = 0, \tag{1.4}$$

$$\frac{\partial \theta}{\partial t} = \frac{\partial}{\partial z} \left(k \frac{\partial \theta}{\partial z} \right). \tag{1.5}$$

Здесь: начало координат помещено на земной поверхности; ось x направлена по нормали к берегу от водной поверхности к суще, y — по касательной, z — вертикально вверх; u, v, w — составляющие вектора скорости ветра по соответствующим осям, R — газовая постоянная; T — средняя по всему земному шару температура; ϑ — отклонения температуры от ее стандартных значений; k — коэффициент турбулентного обмена (число Прандтля принято равным единице); $I = 2\omega \cos \varphi$ — параметр Кориолиса, где ω — угловая скорость вращения Земли, φ — широта местности; $\lambda = g/T$; p = p'/P, где g — ускорение силы тяжести; p' — отклонение давления от стандартных его значений P.

Таким образом, пять уравнений (1.1)-(1.5) служат для определения пяти неизвестных функций: u, v, w, ϑ, p , зависящих от координат x, y, z и времени t.

Сформулируем краевые условия.

При $z=z_0$ или z=0

$$u = v = w = 0; \quad \theta = \theta_{\mathfrak{d}}(x, y, t),$$
 (1.6)

при $z \to \infty$

$$u=v=p=\emptyset=0.$$

Здесь го - параметр шероховатости.

Отметим, что ищется периодическое решение задачи, поэтому начальные условия отсутствуют.

§ 2. Решение задачи

Наметим следующую схему решения.

Используя граничные условия (1.6), из (1.5) находим температуру. Подставляя последнее выражение в (1.3), легко найти давление. Тогда из системы (1.1)—(1.2) находятся горизонтальные составляющие скорости, а из уравнения перазрывности (1.4)— вертикальная ее составляющая.

Для упрощения выкладок положим k = const, и, кроме того, пусть известная функция $\theta_0(x, y, t)$ представлена в виде следующего ряда

$$\vartheta_0 = \sum_{n=1}^{\infty} [T_n(x, y) \cos n\omega t + T_n(x, y) \sin n\omega t]. \tag{2.1}$$

Здесь T_n и T_n' — известные коэффициенты.

Умножая тогда уравнение (1.2) на і, складывая с (1.1), обозначая

$$V = u + iv \tag{2.2}$$

в частично используя граничные условия (1.6), можно систему (1.1)—(1.5) представить в следующем виде

$$\frac{\partial \theta}{\partial t} = k \frac{\partial^2 \theta}{\partial z^2},\tag{2.3}$$

$$p = \frac{\lambda}{RT} \int_{0}^{2\pi} dz, \qquad (2.4)$$

$$\frac{\partial^{2} V}{\partial z^{2}} - \frac{1}{k} \frac{\partial V}{\partial t} - \frac{il}{k} V = \frac{RT}{k} \left(\frac{\partial}{\partial x} + i \frac{\partial}{\partial y} \right) p, \tag{2.5}$$

$$w = -\int_{0}^{z} \left(\frac{\partial u}{\partial x} + \frac{\partial v}{\partial y}\right) dz. \tag{2.6}$$

При граничных условиях $\vartheta = \vartheta_0$ при z = 0 и $\vartheta = 0$ при $z \to \infty$, уравнение (2.3) имеет следующее решение

$$\theta = \sum_{n=1}^{\infty} e^{-z_n z} \left[T_n \cos \left(n \omega t - \sigma_n z \right) + T_n' \sin \left(n \omega t - \sigma_n z \right) \right], \tag{2.7}$$

$$\sigma_n^2 = \frac{n\omega}{2k} \tag{2.8}$$

Подставляя (2.7) в (2.4) и выполняя квадратуры, получим

$$p = -\frac{\lambda}{2RT} \sum_{n=1}^{\infty} \frac{e^{-\sigma_n z}}{\sigma_n} [(T_n - T_n) \cos(n\omega t - \sigma_n z) + (T_n + T_n) \sin(n\omega t - \sigma_n z)]. \tag{2.9}$$

Подставляя это решение в (2.5), получим

$$\frac{\partial^2 V}{\partial z^2} - \frac{1}{k} \frac{\partial V}{\partial t} - \frac{it}{k} V = -\frac{\lambda}{2k} \sum_{n=1}^{\infty} \frac{e^{-z_n z}}{z_n} [M_n \cos \alpha_n + M_n \sin \alpha_n]. \quad (2.10)$$

Здесь для краткости введены следующие обозначения:

$$M_n = \left(\frac{\partial}{\partial x} + i\frac{\partial}{\partial y}\right)(T - T_n'); \quad M_n' = \left(\frac{\partial}{\partial x} + i\frac{\partial}{\partial y}\right)(T_n + T_n'), \quad (2.11)$$

$$a_n = n\omega t - z_n z$$
.

Решая уравнение (2.10) и отделяя затем действительную и мнимую части, получим [6]

$$u = \frac{\lambda}{2l} \sum_{n=1}^{\infty} \frac{e^{-\sigma_n z}}{\sigma_n} [K_{ny} \cos(n\omega t - \sigma_n z) + K_{ny} \sin(n\omega t - \sigma_n z)] + (2.12)$$

$$+ \frac{\lambda}{4l} \sum_{n=1}^{\infty} \frac{e^{-a_n z}}{\sigma_n} [(K_{nx} - K_{ny}) \cos(n\omega t - a_n z) - (K_{nx} + K_{ny}') \sin(n\omega t - a_n z)] -$$

$$- \frac{\lambda}{4l} \sum_{n=1}^{\infty} \frac{e^{-b_n z}}{\sigma_n} [(K_{nx} + K_{ny}) \cos(n\omega t + b_n z) - (K_{nx} - K_{ny}') \sin(n\omega t - a_n z)],$$

$$v = \frac{\lambda}{2l} \sum_{n=1}^{\infty} \frac{e^{-\sigma_n z}}{\sigma_n} [K_{nx} \cos(n\omega t - \sigma_n z) + K_{nz} \sin(n\omega t - \sigma_n z)] + (2.13)$$

$$+ \frac{\lambda}{4l} \sum_{n=1}^{\infty} \frac{e^{-a_n z}}{\sigma_n} [(K_{nx} + K_{ny}') \cos(n\omega t - a_n z) + (K_{nx} - K_{ny}') \sin(n\omega t - a_n z)] +$$

$$+ \frac{\lambda}{4l} \sum_{n=1}^{\infty} \frac{e^{-b_n z}}{\sigma_n} [(K_{nx} - K_{ny}') \cos(n\omega t - a_n z) + (K_{nx} + K_{ny}') \sin(n\omega t - a_n z)] +$$

$$+ \frac{\lambda}{4l} \sum_{n=1}^{\infty} \frac{e^{-b_n z}}{\sigma_n} [(K_{nx} - K_{ny}') \cos(n\omega t + b_n z) + (K_{nx} + K_{ny}') \sin(n\omega t - a_n z)] +$$

Здесь введены следующие обозначения

$$K_{nx} = \frac{\partial}{\partial x} (T_n - T'_n), \qquad K'_{nx} = \frac{\partial}{\partial x} (T_n + T'_n),$$

$$K_{ny} = \frac{\partial}{\partial y} (T_n - T'_n), \qquad K'_{ny} = \frac{\partial}{\partial y} (T_n + T'_n),$$

$$a_n^2 = \frac{n\omega + l}{2k}, \qquad b_n^2 = \left| \frac{n\omega - l}{2k} \right|.$$
(2.14)

Отметим, что верхние знаки в выражениях последних строк (2.12) и (2.13) берутся при $n\omega > l$, нижний при $n\omega < l$. Кроме того, под корнем в (2.14) для b_n всегда берется абсолютное значение.

Подставляя полученное решение в (2.6), найдем

$$w = -\frac{h}{4l} \sum_{n=1}^{\infty} \frac{1}{a_n z_n} \left(\Delta T_n \cos n\omega t + \Delta T_n' \sin n\omega t \right) +$$

$$+ \frac{h}{4l} \sum_{n=1}^{\infty} \frac{e^{-a_n z}}{a_n z_n} \left[\Delta T_n \cos (n\omega t - a_n z) + \Delta T_n' \sin (n\omega t - a_n z) \right] +$$

$$+ \frac{h}{4l} \sum_{n=1}^{\infty} \frac{1}{b_n z_n} \left(\frac{\Delta T_n}{\Delta T_n'} \cos n\omega t + \frac{\Delta T_n'}{-\Delta T_n} \sin n\omega t \right) -$$

$$- \frac{h}{4l} \sum_{n=1}^{\infty} \frac{e^{-b_n z}}{b_n z_n} \left[\frac{\Delta T_n}{\Delta T_n'} \cos (n\omega t \mp b_n z) + \frac{\Delta T_n'}{-\Delta T_n'} \sin (n\omega t \mp b_n z) \right]. \quad (2.16)$$

В случае отсутствия ускорения Кориолиса l=0 имеем $a_n=b_n=\sigma_n$, выражения (2.12), (2.13) и (2.15) становятся неопределенностью. Раскрывая их обычным способом, получим [6]

$$u = -\frac{\lambda z}{4k} \sum_{n=1}^{\infty} \frac{e^{-\sigma_n z}}{\sigma_n^2} \left[\frac{\partial T_n'}{\partial x} \cos(n\omega t - \sigma_n z) - \frac{\partial T_n}{\partial x} \sin(n\omega t - \sigma_n z) \right],$$
(2.16)

$$v = -\frac{\lambda z}{4k} \sum_{n=1}^{\infty} \frac{e^{-z_n z}}{\sigma_n^2} \left[\frac{\partial T_n}{\partial y} \cos(n\omega t - \sigma_n z) - \frac{\partial T_n}{\partial y} \sin(n\omega t - \sigma_n z) \right], \quad (2.17)$$

$$w = \frac{\lambda}{8k} \sum_{n=1}^{\infty} \frac{1}{\sigma_n^4} (\Delta T_n \cos n\omega t + \Delta T_n' \sin n\omega t) -$$

$$-\frac{\lambda}{8k}\sum_{n=1}^{\infty}\frac{e^{-\sigma_n z}}{\sigma_n^4}\left\{\left[\sigma_n z\Delta(T_n+T_n')+\Delta T_n\right]\cos\alpha_n+\left[\sigma_n z\Delta\left(T_n'-T_n\right)+\right.\right.\right.\\ \left.+\Delta T_n'\right]\sin\alpha_n\right\}. \tag{2.18}$$

Таким образом, решение задачи в случае $l \neq 0$ [дается выражениями (27), (2.9), (2.12), (2.13) и (2.15), а в случае l = 0 - (2.7), (2.9) и (2.16)—(2.18).

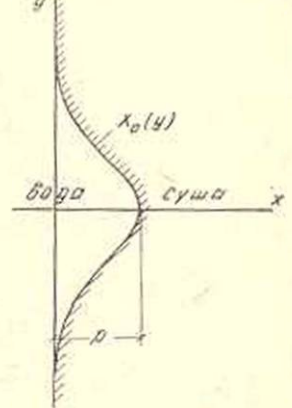
§ 3. Расчет бризов при криволинейном очертании берега

Пусть форма береговой линии представлена в виде следующего уравнения

$$x_0 = pe^{-qy^2}$$
. (3.1)

Схематически это представлено на фиг. 1. Здесь p и q — параметры, карактеризующие форму симметричного залива. $\# \mathfrak{k}$

Если теперь вернуться к уравнению (1.2) в считать, что берег прямолинейный (совпадает с осью у) и l=0, то есть рассмотреть то сути дела плоскую задачу, то это уравнение при граничных условиях (1.6) имеет трижильное решение v=0. Таким образом, при криволинейном береге из-за того, что $\partial/\partial y \neq 0$, получаем $v\neq 0$, кроме того, учет ускорения кориолиса ($l\neq 0$) приведет к повороту ветра в вчение суток. Влияние последнего фактора вссмотрено в [6], сейчас рассмотрим влияние формы берега.



Фиг. 1. Схема очертания береговой линии.

Для облегчения расчетов положим, что все $f_{i} = T_{n} = 0$, кроме $f_{i} = 0$, кроме $f_{i} = 0$, кроме $f_{i} = 0$, кроме f

$$T_1(x, y) = 2.8 + 2.2 \, thz \, [x - x_0(y)].$$
 (3.2)

При прямолинейном береге $x_0 = \text{const}$ или, в частности, $x_0 \equiv 0$. При (3.2) решение примет следующий вид:

l случай, l=0

$$\theta = T_1 e^{-\sigma z} \sin(\omega t - \sigma z), \tag{3.3}$$

$$p = -\frac{\lambda T_1}{2RT} \frac{e^{-zz}}{z} [\cos(\omega t - zz) - \sin(\omega t - zz)], \qquad (3.4)$$

$$u = -\frac{\lambda z}{4k} \frac{\partial T_1'}{\partial x} \frac{e^{-sz}}{\sigma^2} \cos(\omega t - sz), \tag{3.5}$$

$$v = -\frac{\lambda z}{4k} \frac{\partial T_1'}{\partial v} \frac{e^{-\sigma z}}{\sigma^2} \cos(\omega t - zz), \qquad (3.6)$$

$$w = \frac{\lambda \Delta T_1}{8kz^4} \left[\sin \omega t - e^{-zz} \left[zz \cos (\omega t - zz) + (zz + 1) \sin (\omega t - zz) \right] \right], (3.7)$$

Здесь, как и выше

$$\Delta T_n = \frac{\partial^2 T_n}{\partial x^2} + \frac{\partial^2 T_n}{\partial y^2}.$$
 (3.8)

II случай, $l \neq 0$

$$w = -\frac{\lambda \Delta T_1}{4la\sigma} \left[\sin \omega t - e^{-az} \sin \left(\omega t - az \right) \right] +$$

$$+\frac{\lambda \Delta T_1}{4lb\sigma} \left\{ \left[\begin{pmatrix} 0 \cos \omega t + \frac{1}{0} \sin \omega t \end{pmatrix} - e^{-bz} \right] \cos (\omega t \mp bz) \mp \frac{1}{0} \sin (\omega t \mp bz) \right\}. \tag{3.11}$$

В этом случае решения для ϑ и p совнадают с (3.3) и (3.4), а параметры τ , a и b определяются по (2.8) и (2.14) при n=1.

Для расчетов остается лишь вычислить $T_1(x, y)$ по (3.2), а также производные этой функции. Заметим, что имеют место следующие соотношения

$$\frac{\partial T_1^{'}}{\partial y} = -x_0^{'} \frac{\partial T_1^{'}}{\partial x}, \qquad \frac{\partial^2 T_1^{'}}{\partial y^2} = -x_0^{'} \frac{\partial T_1^{'}}{\partial x} + (x_0^{'})^2 \frac{\partial^2 T_1^{'}}{\partial x^2},$$

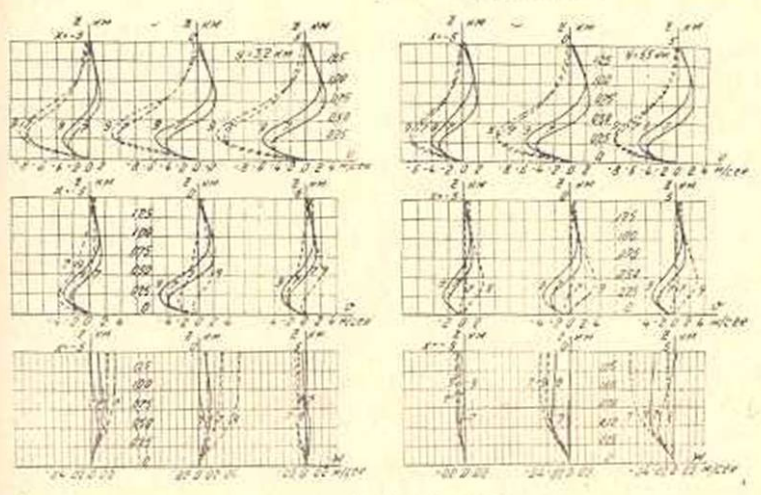
$$\Delta T_1^{'} = \frac{\partial^2 T_1^{'}}{\partial x^2} (1 + x_0^{'2}) - x_0^{'} \frac{\partial T_1^{'}}{\partial x}. \tag{3.12}$$

Причем для вычисления x_0' и x_0'' следует продифференцировать (3.1) по у. При этом для параметров залива принято $p = 0.5 \cdot 10^4 \ \text{м}$, $q = 0.5 \cdot 10^{-7} \ \text{м}^2$. Это означает, что высота или стрелка залива равна 5 км, а форма выбрана так, что уже на расстоянии $y = \pm 13 \ \text{км}$ от дентра криволинейный берег практически совпадает с прямолинейным (расстояние между ними порядка 1 м).

Принимая еще $T \approx 288\,^{\circ}$ С, то есть $\lambda = 3.5 \cdot 10^{-2} \text{м сек}^{-2}$ град $^{-1}$, получим $\sigma = 0.316 \cdot 10^{-2} \,\text{м}^{-1}$. Расчеты проводятся для широты озера Севан ($\phi = 40^{\circ}$ С. ш.).

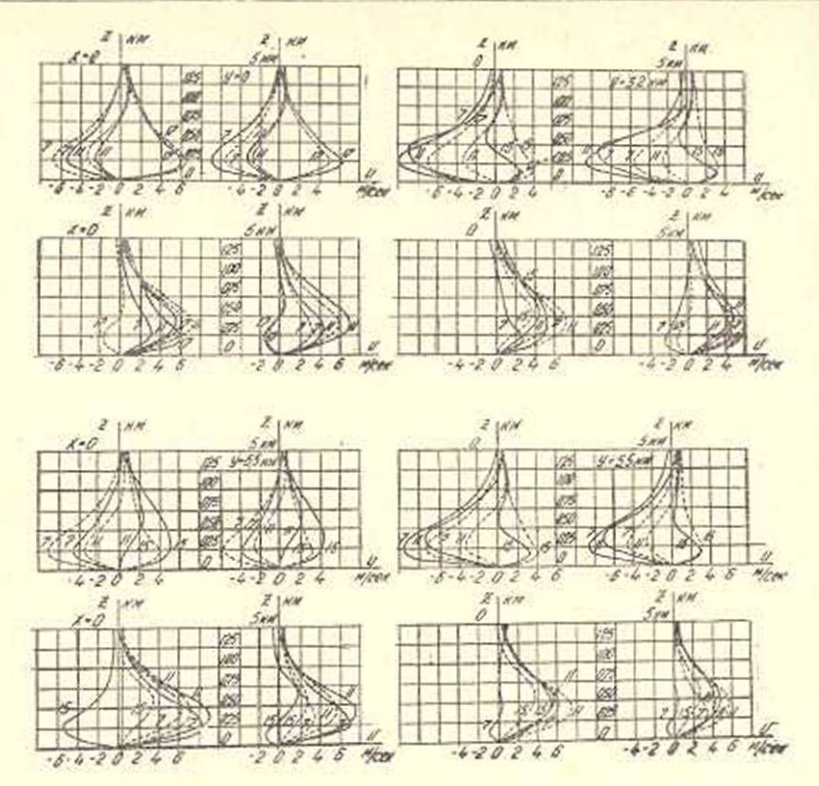
Вычисляя T_1 и ее производные по формулам (3.2) и (3.12) для различных значений x, y, можно легко подсчитать все элементы бриза по формулам (3.3)—(3.7) для случая l=0 и (3.9)—(3.11) для случая $l\neq 0$. Используя также результаты полобного расчета при прямолинейном береге [6], можно оценить роль формы береговой линии.

Ниже, на фиг. 2—5 представлены некоторые результаты расчетов. Так, на фиг. 2 сопоставлены профили составляющих скорости бриза для рассмотренных выше случаев при различных значениях у....

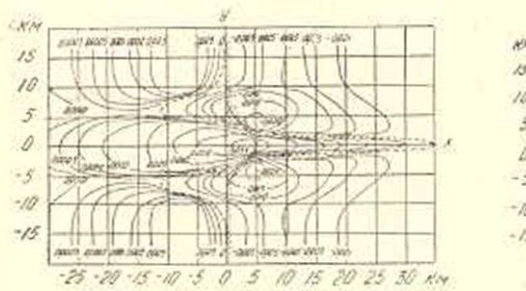


Фиг. 2. Сопоставление профилей скорости бриза для случаев l=0 (сплошные) и $l\neq 0$ (пунктириые) при y=3,2 и 5,5 км.

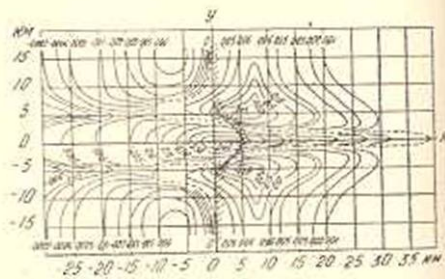
На фиг. 3 сопоставлены профили горизонтальных составляющих скорости бриза при прямолянейном и криволинейном очертании берега. На фиг. 4 и 5 приведены карты изолиний вертикальных токов в 15 часов при l=0 и $l\neq 0$ на одной и той же высоте 300 м.



Фиг. 3. Сопоставление профилей скорости бриза для случаев криволинейного (сплоиные) и прямолинейного (пунктирные) берега при $y=0;\ 3.2\ \mathrm{R}\ \pm 5.5\ \kappa m;\ t\neq 0.$



Фиг. 4. Изоливии вертикальных токов в $\mathbf{M}/ce\kappa$ на высоте x=300 м в 15 часов при t=0.



Фиг. 5. Изолинии вертикальных токов в м/сек на высоте z=300 м в 15 часов при I \neq 0.

§ 4. Анализ полученных результатов

Прежде чем изложить полученные выводы, определим еще момент наступления бриза по отношению к ходу температуры подстилающей поверхности, а также вычислим угол наклона ветра у земли.

Как известно [3, 6], момент наступления бриза определяется из следующего выражения:

$$\frac{\partial u}{\partial z}\Big|_{z=0} = 0,$$
 (4.1)

Пользуясь решениями (3.5) для случая l=0, получим

$$\cos \omega t_0 = 0; \quad \omega t_0 = \pi/2,$$
 (4.2)

то есть запаздывание хода ветра по отношению к таковому для температум составляют 6 часов, независимо от широты. Этот результат совпадает с таковым для прямолинейного берега [6].

Пользуясь решением (3.9) для случая $l \neq 0$, получим

$$\lg w t_0 = -\frac{\frac{\partial T_1'}{\partial x} \left(-a + \frac{b}{0}\right) + \frac{\partial T_1'}{\partial y} \left(\begin{array}{c}0\\-b\end{array}\right)}{\frac{\partial T_1'}{\partial x} \left(\begin{array}{c}0\\b\end{array}\right) + \frac{\partial T_1'}{\partial y} \left(a - 2z + \frac{b}{0}\right)}.$$
(4.3)

заесь, как и везде, верхние знаки и выражения соответствуют случню ω > l (φ < 30°), нижняе — ω < l (φ > 30°).

Используя связь между первыми производными от T_1 по x и y, согляено (3.12), получим

$$\operatorname{tg} \omega t_{\mathbf{0}} = -\frac{\left(-a + \frac{b}{0}\right) - x_{\mathbf{0}}^{\prime} \left(\begin{array}{c} 0 \\ b \end{array} \right)}{\left(\begin{array}{c} 0 \\ b \end{array} \right) - x_{\mathbf{0}}^{\prime} \left(a - 2 \mathbf{s} + \frac{b}{0} \right)} \,.$$

Это выражение распадается на два следующих

$$\operatorname{tg} \omega t_0 = \frac{a - b}{x_0 (2z - a - b)}, \qquad \omega > l \quad (\varphi < 30^\circ), \tag{4.4}$$

$$\operatorname{tg} \omega t_0 = \frac{a - bx_0'}{b + x_0'(2 - a)}, \quad \omega < I \quad (\varphi > 30^\circ).$$
(4.5)

Полагая здесь $x_0 = 0$, для случая прямолинейного берега получим

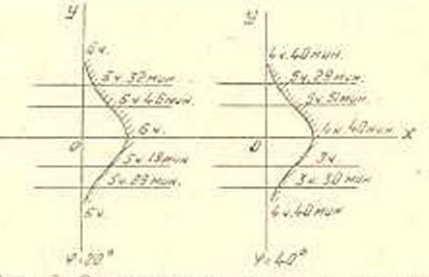
$$\omega t_0 = \frac{\pi}{2}$$
 при $\varphi < 30^\circ$ и $\omega t_0 = \arctan \frac{a}{b}$ при $\varphi > 30^\circ$, (4.6)

что совнадает с соответствующим результатом из [6].

Результаты расчета по формуим (4.4) и (4.5) представлены на

Определим угол наклона ветра икмає т

$$\lg \alpha = \frac{v}{u}\Big|_{z \to 0}.$$
 (4.7)



 $tg \, \alpha = \frac{v}{u}$. (4.7) Фиг. 6. Запаздывание ветря в разных пунктах берега на широтах $\varphi = 20^{\circ}$ и 40° c. m.

Подставляя сюда решения (3.5) и (3.6) для случая l=0, по-THHM:

Визосниг АН, серия физ. мат. наук, № 5

$$tg \alpha = -x'_0, \tag{4.8}$$

В случае прямолинейного берега $x_0' = 0$ и $\alpha = 0$, что совпадает с результатом из [6].

В случае $l \neq 0$, согласно (3.9) и (3.10), имеем

$$tg \, a = \frac{x_0'(a-b) + (2a-a-b) tg \, \omega t}{-a+b+x_0'(2a-a-b) tg \, \omega t}, \quad \varphi < 30^\circ, \tag{4.9}$$

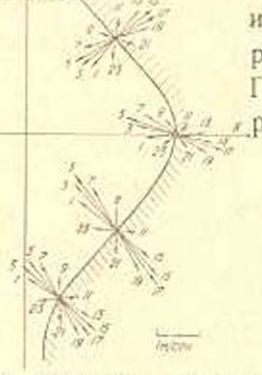
$$\lg a = \frac{ax_0' + b + (2\sigma - a - bx_0') \lg \omega t}{-a + bx_0' + [x_0'(2\sigma - a) + b] \lg \omega t}, \quad \varphi > 30^\circ. \quad (4.10)$$

В частности, при $x_0 = 0$ получим выражения для прямолинейного берега [6].

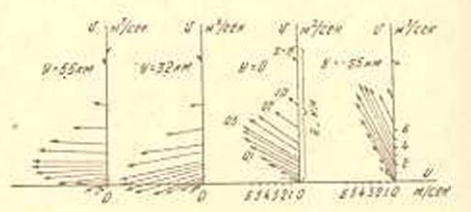
Суточный ход ветра представлен на фиг. 7. На фиг. 8 показано изменение вектора скорости ветра с высотой при $l \neq 0$ в 7 часов на суше.

Анализ результатов позволяет сделать раз выводов в дополнение к полученным в [6].

В случае прямолинейного берега ни одна из величин не зависит от у, поэтому картины в разных вертикальных плоскостях повторяются. При криволинейном же очертании эти картина разные. В [6] можно было проследить как



Фтн. 7. Суточный ход вектора скорости ветра на высоте флюгера в разных пунктах берега.



Фиг. 8. Изменение вектора скорости ветра с высотой при $l \neq 0$, $x = 10 \ к.м.$, в 7 часов. Пунктиром показано паправление ветра у земли (при z = 0).

влияет ускорение Корнолиса на развитие процесса для прямоливейного берега, здесь на фиг. 2 показано это влияние для криволинейного берега. Легко заметить, что учет силы Кориолиса приводит в лучшему соответствию хода ветра данным наблюдений.

Как показывает фиг. 3, пунктирные профили, соответствующе прямолинейному берегу, повторяются при одних и тех же значених x и разных значениях y, в то время, как профили, соответствующие криволинейному берегу, на разных расстояниях от оси x сильно огличаются друг от друга. Пунктирные профили при x=y=0 совпадают со сплошными при x=0, y=p, так как здесь $\partial T_1/\partial y=0$ и $x_0=0$. На больших расстояниях от оси x, где криволинейный берег

приближается к прямолинейному, снова имеет место $\partial T_1/\partial y \to 0$ и $x_0^* \to 0$, поэтому влияние берега здесь также исчезает.

Большой интерес представляют карты изолиний вертикальных токов (фиг. 4 и 5). В случае прямолинейного берега эти изолинии прямые, параллельные береговой линии, причем нулевая изолиния совпадает с последней. Криволинейная форма берега приводит к резкой деформации этого поля. Нулевая линия лишь на больших расстояниях приближается к береговой линии и дважды пересекает последнюю (в точках перегиба), языкообразно далеко вдаваясь в сторону сущи и двумя общирными частями в сторону воды. При этом имеют место и замкнутые изолинии, причем вся картина получается симметричной относительно оси x как в случае $l \neq 0$, так и l = 0.

Отметим, что абсолютная величина вертикальных токов определяется значениями двух параметров — ϵ и q, первый из которых характеризует контраст температуры суща-вода, а второй — кривизну берега. Всличина вертикальных токов оказывается прямо пропорциональной квадрату каждого из указанных параметров. По-видимому, развитый бриз в значительной степени стирает горизонтальную неоднородность температуры и влияние берега, поэтому вертикальные токи по своей абсолютной величине будут несколько меньше, чем получено теоретически, но все же наблюдения над облаками подтверждают своеобразную их форму, в большой степени соответствующую тому, что получено на картах изолиний.

Как показывают формулы (4.4)-(4.5), момент наступления бриза ври криволинейном береге и $l \neq 0$ зависит от широты везде, в отличие от прямолинейного берега. Кроме того, как показывает фиг. 6, ври одном и том же значении широты этот момент зависит от у и лишь в вершине залива и на больших расстояниях от оси x совпадает с результатом для случая прямолинейного берега [6].

Скорость ветра на берегу при l=0 везде направлена по нормали к береговой линии и поэтому лишь на вершине и на больших расстояниях от оси х совпадает с последней (v=0). Но лишь при учете силы Кориолиса имеется суточный ход направления ветра. Фиг. 7 показывает суточный ход величины и направления скорости ветра. С высотой имеет место правый поворот скорости ветра (фиг. 8), на некоторых высотах имеет место течение обратного направления.

Таким образом, учет формы береговой линии приводит к существенно новым результатам, которые не могли быть получены из решения задачи для прямолинейного берега. При этом учет силы Кориолиса принципиально удучшает результаты.

нститут водных проблем и гидротехники МВХ Армянской ССР

U. U. ULIPUPALL, U. A. AUTUSULSUL

ԱՓԱԳԾԻ ՁԵՎԻ ԱԶԳԵՑՈՒԹՅՈՒՆԸ ԲՐԻԶԱՅԻՆ ՇՐՋԱՊՏՈՒՅՏԻ ՎՐԱ

Udhnhnid

Հոդվածում բերված է բրիղային շրջապաույաի խնդրի լուծումը, երբ ափադիծն ունի (3.1) կորագիծ տեսբը։ Մխեմտաիկորեն այն եւերկայացված է դծ. 1-ում։ Խնդրի լուծման համար ելևում ենք հիղթոչերմադինամիկայի դծայնացրած (1.1)—(1.5) հավասարումներից (1.6) եղբային պայմանների դեպրում։

Պարզության համար ընդունված է, որ ուղղաձիդ տուրբուլինաականության գործակիցը հաստատուն էւ Լուծումը ստացվում է (2.7), (2.9), (2.12),(2.13) և (2.15) տեսքով, երբ հաշվի է առնվում Կորիոլիսի տրադացումը, և (2.7), (2.9), (2.16), (2.17), (2.18) տեսքով, երբ Կորիոլիսի տրադացումը բացակայում էւ Մածկույթի ջերժաստիճանի (3.2) տեսքի դեպրում կատարված են հաշվարկներ և արդյունքները ներկայացված են բերված դծադրերում։ Գծ. 2-ում ներկայացված են չ-ի տարբեր արժեքների համար ստացված բամու պրոֆիլները Կորիոլիսի արագացման առկայության, ինչպես նաև նրա բացակայաւթյան դեպքում։ Գծ. 3-ում ներկայացված են բամու արադության հորիդոնական բաղադրիչների արդյունքները ուղղագիծ ափի համար ստացված արդյունքների համար ստացված արդյունքները ուղղագիծ ափի, այստեղ ստացված են տարրեր մերի հետ միասին։ Ի տարրերություն ուղղագիծ ափի, այստեղ ստացված են տարրեր ուղղաձիդ հարնություններում տարբեր պատկերներ։

քրիղի ծազման ժամկնար, հրը Կորիոլիսի արադացումը բացակայում է, որոշվում է (4.2) բանաձևով, որից ստացված արդյունքը համընկնում է [6]-ում ստացված արդյունքի հետ։ Կորիոլիսի արագացումը հաշվի առնելիս ստացվամ է, որ բրիզի ծագման ժամկնար ափի տարբեր անդնրում տարբեր է, որը և երևվում է դծ. 6-ում։ Միայն որոշ կետերում այն համընկնում է [6]-ի արդյունքների հետ։

Քամու ինթունյան անկյունը որոշվում է (4.7), (4.9) և (4.10) բանաձևերով։ (4.9)-ից և (4.10)-ից ստացված արդյունբները ներկայացված են դժ. 7-ում, իսկ դժ. 8-ում ցույց է արված արադունյան վեկտորի փոփոխունյունը ըստ բարձրունյան, երբ հաշվի է առնվում Կորիոլիսի արադացումը։

Առանձին հետաքրքրություն են ներկայացնում ուղղաձիկ հոսանքների իղողծերի քարտեղները (գծ. գծ. 4 և 5)։ Ուղղադիծ ափի համար այն իղողծերը ափին զուդահեռ ուղիներ են։ Ափի կոր տեսքը բնրում է այս դաշար դեկորմացիային։ Ձերոյական գիծը միայն շատ մեծ հեռավորությունների վրա համընկնում է ափագծի հետ, երկու անդամ հատում է այն և լեղվակի ձևով տարածվում ցամաքի վրա։ Ըստ որում դոյություն ունեն հան փակ իղողծեր և պատկերը սիմետրիկ է x առանցքի նկաշմամի։

ЛИТЕРАТУРА

- Буз А. И. К вопросу о влиянии береговий линии на похаушные течения и распределение осадков. Сборник по региональной синоптике. № 5, 1960.
- Бурман Э. А. К вопросу о распределении вертикальных токов при бризовых пиркуляциях. Труды ОГМИ, вып. 5, 1953.
- 3. Гутмин Л. Н. О структуре бризов. Труды 114П, вып. 8, 1948.

- 4. Гутман Л. Н. О вертикальных токах при бризах. Труды ЦИП, вып. 8, 1948.
- Гутман Л. Н. О распределении бризов во нормали к берегу. Метеорология и гидрология, № 2, 1949.
- Мхитарян А. М. О бризах в бассейне оз. Севан и некоторые результаты их расчета по фактическому распределению температуры подстилающей поверхности. Сообщение І: Известия АН АрмССР, серия техн. наук, № 5, 1962; сообщение 2: там же, № 6, 1962.
- Ситников И. Г. Некоторые результаты гидродинамического исследования бризов. Труды ПИП, вып. 93, 1960.
- Трубников Б. Н. О вертикальных токах при бризе над плоским берегом. Известия АН СССР, серия геофиз., № 2, 1961.
- Pearce R. P. The calculation of the sea-breese circulation in terms of the differential heating across the coastline, Quart. Journ. of the Roy. Met. Soc., 81, № 349, 1955; 82, № 1352, 1956.